

REUNIÃO BIBLIOGRÁFICA

João Macedo 2° ano do Internato de Formação Específica em Radiologia 21 de Março de 2018

Prospective Comparison of Standard-Versus Low-Radiation- Dose CT Enterography for the Quantitative Assessment of Crohn Disease

Greg Rosenfeld; Jacqueline Brown; Patrick M. Vos; Jonathon Leipsic; Robert Enns; Brian Bressler

- A doença de Crohn é uma doença inflamatória crónica que pode envolver qualquer parte do trato digestivo.
- O envolvimento do intestino delgado torna-se um desafio diagnóstico, visto que apenas uma pequena porção pode ser visualizada por endoscopia.
- Nesse contexto, os métodos de imagem são utilizados para diagnóstico, monitorização de atividade da doença e avaliação da resposta à terapêutica.

- A enterografia por TC é um exame sensível e específico para o diagnóstico da doença de Crohn.
- O seu uso é limitado pela exposição à radiação ionizante.
 Particularmente problemático em pacientes jovens.
- Soluções?
 - Enterografia por RM?
 - Ecografia do Intestino delgado?

- Enterografia por RM:
 - Custo elevado
 - Longo tempo de aquisição
 - Experiência na interpretação de imagens
- Ecografia?
 - Radiologista experiente
 - Artefactos poderão comprometer o exame

Neste sentido, as técnicas de redução ganharam real importância na enterografia por TC, a fim de permitir obter imagens com qualidade diagnóstica suficiente com menor exposição à radiação.

Objetivo

Demonstrar que a enterografia por TC usando doses de radiação mais baixas não é inferior no diagnóstico da doença de Crohn quando comparada com a enterografia por TC com dose "standard".

- 163 doente seguidos no St. Paul's Hospital em Vancouver entre novembro de 2012 e fevereiro de 2015;
- > 18 anos;
- Doença de Crohn com envolvimento do intestino delgado suspeita ou já previamente diagnosticada;

- Critérios de Exclusão:
 - Doentes que n\u00e3o toleram a ingest\u00e3o oral de contraste;
 - Alergia ao contraste iodado;
 - TFG < 60 mL/min;</p>

- Cada paciente apresenta:
 - 2 aquisições de TC: de baixa dose e dose "padrão"
 - Índice HBI
 - Calprotectina fecal

- Técnica:
 - ASIR (Adaptive statistical iterative reconstruction)
 - BMIR (Model-based iterative reconstruction)
 - Imagens FBP (Filtered back projection) foram reconstruídas usando as imagens adquiridas com nível de dose de ASIR
 - Houve uma redução significativa na exposição média à radiação para as aquisições de baixa dose em comparação com as aquisições de dose padrão (3,30 ± 3,17 vs 7,16 ± 4,61, respectivamente, p <0,001).</p>

- Técnica:
 - Administração de 100 mL de CIV a 3mL/s.
 - 1ª aquisição 30 a 45 segundos após CIV;
 - Reformatações multiplanares a 2,5 mm de espessura;

- Análise:
 - 2 radiologistas com mais de 10 anos de experiência em enterografia por TC.
 - As aquisições foram avaliadas em 3 ocasiões distintas, sem dados pessoais, sem correlação clínica e sem valores laboratoriais.
 - O tipo de aquisição também não era revelado.

- Análise:
 - O objetivo era a avaliação da atividade da doença
 - Foram avaliadas 4 características como presentes ou ausente:
 - Características da parede
 - Espessamento da parede
 - Alterações das áreas envolventes
 - Complicações



Escala de Likert:

Totalmente ativa
Provavelmente ativa

Inativa Ausente

Resultados

TABLE 2: Pooled Reader Estimates

	Pooled Estimate Based on GEE			Difference (95% CI)			
Finding	MBIR	FBP	ASIR	MBIR vs FBP	MBIR vs ASIR	FBP vs ASIR	
Sensitivity	0.70	0.74	0.74	-0.04 (-0.09 to 0.01)	-0.04 (-0.09 to 0.01)	0.002 (-0.03 to 0.04)	
Specificity	0.71	0.71	0.71	-0.001 (-0.04 to 0.04)	-0.01 (-0.06 to 0.04)	-0.01 (-0.06 to 0.05)	
PPV	0.75	0.75	0.77	0.001 (-0.04 to 0.04)	-0.02 (-0.05 to 0.01)	-0.02 (-0.06 to 0.02)	
NPV	0.65	0.69	0.68	-0.04 (-0.098 to 0.01)	-0.03 (-0.08 to 0.01)	0.01 (-0.04 to 0.06)	

Note—GEE = generalized estimating equations, MBIR = model-based iterative reconstruction, FBP = filtered back projection, ASIR = adaptive statistical iterative reconstruction, PPV = positive predictive value, NPV = negative predictive value.

O algoritmo MBIR comparado com os restantes não se apresenta

TABLE 3: Validity of Model-Based Iterative Reconstruction Compared With Radiologic (Adaptive Statistical Iterative Reconstruction) Standard

Finding	Reader 1	Reader 2		
Sensitivity	0.94 (0.86-0.98)	0.85 (0.76-0.92)		
Specificity	0.97 (0.91–1.00)	0.84 (0.73-0.92)		
Positive predictive value	0.97 (0.91–1.00)	0.88 (0.79-0.94)		
Negative predictive value	0.94 (0.86-0.98)	0.80 (0.69-0.89)		

Note—Data are kappa coefficient (95% CI).

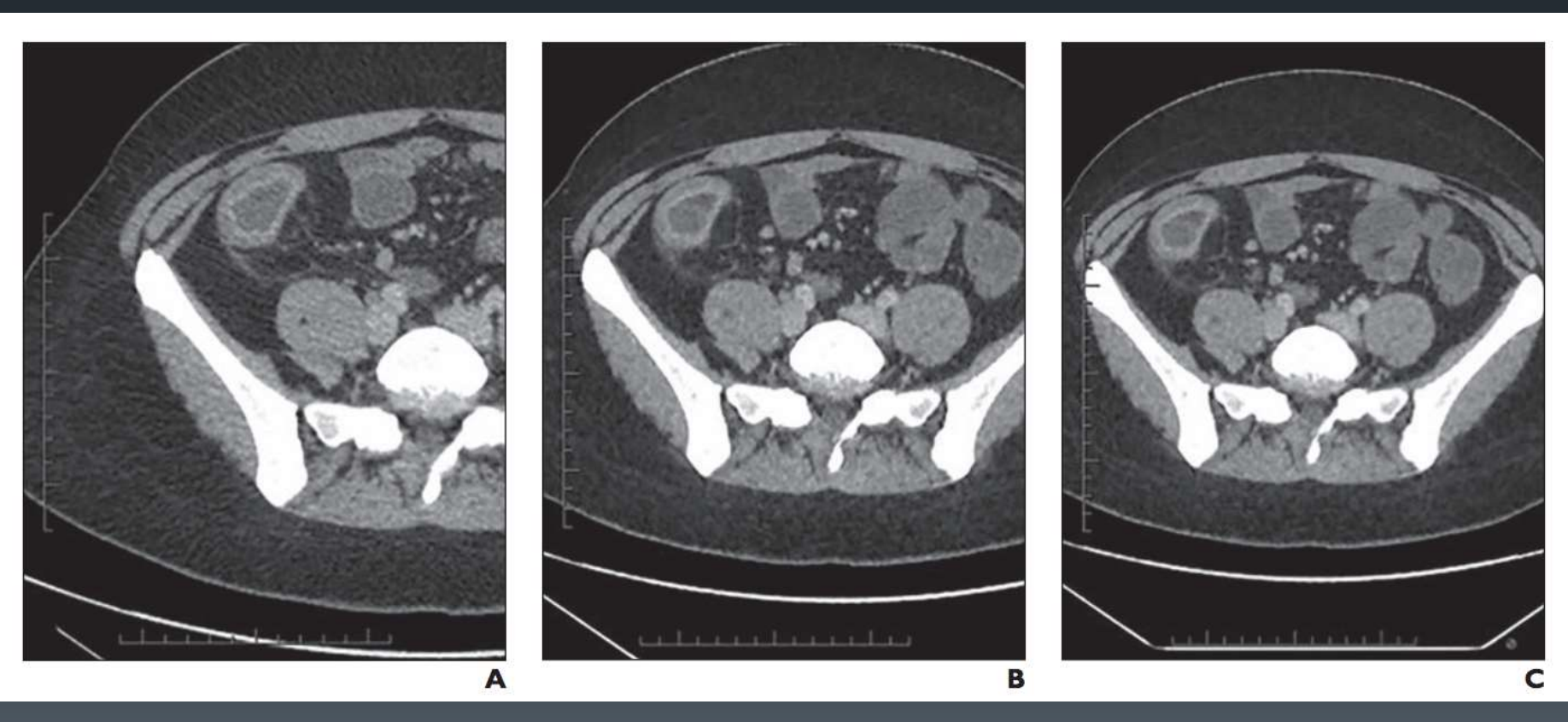
Houve um nível muito alto de acordo entre a interpretação MBIR e o padrão ASIR, por cada radiologista.

TABLE 4: Objective Measures of Image Quality

	A	Absolute Value			MBIR vs FBP $(n = 126)$		MBIR vs ASIR (n = 161)		FBP vs ASIR (n = 128)	
Measure	MBIR	ASIR	FBP	Difference	р	Difference	p	Difference	p	
Attenuation					0.774		0.671		0.38	
Median (IQR)				0.1 (4.5)		0.2 (5.8)		0.0 (3.9)		
Mean (SD)	76.4 (11.9)	76.1 (11.9)	77.3 (12.4)	-0.4 (-2.4 to 2.4)		0.2 (-2.7 to 3.0)		0.1 (-1.6 to 2.0)		
Range				-12.9 to 18.8		-34.7 to 19.2		-33.3 to 6.8		
Noisea					< 0.001		< 0.001		< 0.001	
Median (IQR)				-10.5 (4.0)		-8.5 (3.7)	\smile	2.3 (3.9)	\smile	
Mean (SD)	11.0 (1.8)	19.5 (3.1)	21.8 (3.7)	-10.4 (-13.2 to -7.6)		-8.7 (-11.1 to -6.6)		1.7 (-0.7 to 4.7)		
Range				-21.1 to 1.2		-16.6 to 7.5		-8.1 to 13.3		
SNRª					< 0.001)	(<0.001)		(<0.001)	
Median (IQR)				3.5 (1.4)	$\overline{}$	3.1 (1.5)	$\overline{}$	-0.4 (0.7)	\sim	
Mean (SD)	7.2 (1.6)	3.7 (0.7)	4.1 (0.8)	3.8 (2.4 to 4.6)		3.1 (2.2 to 4.2)		-0.3 (-0.8 to 0.1)		
Range				0.0-7.1		-1.6 to 6.5		-2.2 to 1.4		

Note—MBIR = model-based iterative reconstruction, ASIR = adaptive statistical iterative reconstruction, FBP = filtered back projection, IQR = interquartile range, SNR = signal-to-noise ratio.

^aData were missing for three MBIR scans and one ASIR scan.



A – FBP B - ASIR C - MBIR

- O algoritmo MBIR permitiu uma redução em mais de 50% de exposição à radiação.
- Ao mesmo tempo obteve uma precisão diagnóstica semelhante.
- Tem uma sensibilidade de 0,7 para diagnóstico de doença ativa, contra 0,74 da ASIR.

- A variabilidade inter-observador foi boa.
- A concordância entre cada uma das técnicas também foi alta.
- A MBIR não é inferior à ASIR para identificar com precisão a presença ou ausência de doença de Crohn ativa. Mostrando características radiológicas muito semelhantes às técnicas tradicionais com doses mais elevadas.

- Houve fraca correlação entre o índice HBI e a presença de doença ativa.
- O nível de calprotectina fecal demonstrou-se estar fortemente relacoionado com a presença de doença ativa.
- A combinação dos níveis de calprotectina com os resultados da enterografia por TC na precisão diagnóstica de doença intestinal ativa, é promissora.

- O estudo conseguiu alcançar o objetivo primário de demonstrar que a redução de dose, usando um algoritmo MBIR, tem uma precisão semelhante à enterografia por TC padrão, com uma redução significativa da exposição.
- A exposição média usando o algoritmo MBIR foi de 3 mSv.
- Uma TC abdominal padrão varia entre os 8 e 10 mSv.

Levará o desenvolvimento destas técnicas de redução de dose ao aumento do número de enterografias por TC para a avaliação da resposta à terapêutica e monitorização da atividade da doença?

Conclusão

- Este estudo mostra que a enterografia por TC de baixa dose (algoritmo MBIR) tem precisão diagnóstica semelhante à enterografia por TC padrão.
- A enterografia por TC de baixa dose é uma modalidade predominante para o diagnóstico e monitorização dos pacientes com doença de Crohn.
- Benefício significativo para os pacientes com doença de Crohn.



REUNIÃO BIBLIOGRÁFICA

João Macedo 2° ano do Internato de Formação Específica em Radiologia 21 de Março de 2018